# استخدام الشبكات العصبية الاصطناعية في تخمين المنغنيز الكلي في بعض ترب وسط وشمالي العراق

## محمد طاهر سعيد خليل

كلية الزراعة والغابات / جامعة الموصل / العراق

#### الخلاصية

تم تطبيق الدراسة على 111 نموذج تربة جمعت من 22 موقعا مختارا في وسط وشمالي المنغنيز الكلي ،الشبكات العصبية ، العراق تختلف في محتواها من المنغنيز الكلي بهدف إستخدام الشبكات العصبية الاصطناعية لإيجاد أكفأ أنموذج رياضي في تخمين المنغنيز الكلي في الترب. اعتمدت فيها بعض صفات الترب (التوصيل الكهربائي والمادة العضوية والسعة التبادلية الكاتبونية ومحتوى الطبن وكربونات الكالسيوم والدالة الحامضية) كمدخلات لأنموذج الشبكة العصبية الاصطناعية المقترحة. إحصائيا، تم أجراء تحليل الانحدار لإيجاد توافقا خطيا بين مخرجات الشبكة العصبية الاصطناعية وبيانات المنغنيز الكلي الحقيقية لنماذج الترب غير الداخلة ضمن مجموعة التدريب. أشارت نتائج استخدام الشبكة العصبية إلى أن جذر متوسط مربع الخطأ (RMSE = 50.3) و متوسط النسبة المئوية للخطأ المطلق (MAPE=8.6%) وعامل التحقق (VF= 90.5) وعلاقة الارتباط (r= 0.92) بين القيم الحقيقية والمخمنة للمنغنيز الكلي ، التحليل الإحصائي لمخرجات الشبكة العصبية باستخدام حزمة برمجيات MATLAB أشار إلى إن علاقة الارتباط لكل من مجموعات التدريب والتحقق و الاختبار والبيانات الكلية كانت (r= 0.88) و (r= 0.92) و (r= 0.88) و (r= 0.88) على التوالي مما يدل على كفاءة استخدام الشبكة العصبية الاصطناعية في تخمين المنغنيز الكلي في الترب اعتمادا على صفاتها أعلاه.

# الكلمات الدالة:

دالة سيجمويد، دالة خطية ، تدريب، تحقق، اختبار.

#### للمراسلة:

محمد طاهر سعید خلیل البريد الالكتروني:

dr\_mohammed1951@yahoo.com

رقم الهاتف المحمول: 07702081117

# Using Artificial Neural Networks in Total Manganese Estimation for Some Soils in Middle and Northern of Iraq

## **Mohammed Tahir Said Khalil**

College of Agriculture and Forestry / University of Mosul / Iraq.

#### **Key words:**

Total Mn, ANN, Tan-sigmoid function, linear function, training, validation, test groups.

### **Correspondence:**

M. T. S. Khalil

## E-mail:

dr\_mohammed1951@yahoo.com Mobile No.:

07702081117

#### ABSTRACT

The study was applied on 111 soil samples were collected from 22 selected locations in middle and northern Iraq differ in their total manganese contents. Aim is to use artificial neural networks to find mathematical model for total manganese estimation. Some soil characteristics (EC, organic matter, CEC, clay content, CaCO<sub>3</sub>, pH) have been depended as inputs for assumed artificial neural networks model. Statistically, stepwise multiple linear regression model was carried out to find a linear harmony between artificial neural network outputs and observed total manganese data for soil samples were excluded from training group. Results of neural networks application referred that root mean square error (RMSE= 50.3), mean absolute percent error (MAPE= 8.6%), validation factor (VF= 90.5) and correlation relationship (r= 0.92) between observed and estimated soil total manganese values, also statistical analysis by using MATLAB programs band for neural networks outputs referred that correlation relationships for training, validation, test groups and total data of soil samples were (r = 0.88), (r = 0.92), (r = 0.85), (r= 0.88) respectively indicating for efficiency artificial neural networks in total manganese estimation with depending upon soil characteristics mentioned above.

## المقدمة:

يتواجد المنغنيز في معظم التكوينات الجيولوجية ويدخل في تكوين معادن مختلفة وعلى مدى واسع من الظروف الكيميائية والحرارية، وللمنغنيز القابلية على الدخول في العديد من الأطوار والتراكيب فضلا عن الأمتزاز على أسطح المعادن والمواد العضوية (Ahnert و 2000) Borowiski ، أما في التربة فان تركيز المنغنيز يعتمد على عاملين أساسين أولهما وفرة العنصر في مادة الأصل وثانيهما عوامل وعمليات تكوين التربة (Levinson)، 1980). أشار Aubert و Aubert) إلى أن تركيز المنغنيز الكلى في القشرة الأرضية يتراوح بين أثر في الترب البودزولية Podzolic في جمهورية بولونيا إلى أكثر من 10000 ملغم. كفم - في الترب الفيرومنغنيزية في دولة تشاد ، بينما حصل Joshi و آخرون ,(1981) على كمية تراوحت بين 250 - 800 ملغم. كغم<sup>-1</sup> عند دراستهم لبعض ترب الهند ، وفي الترب المصرية ذكر Abd-Elrazek و آخرون ، (1984) أن تركيز المنغنيز الكلي قد تراوح بين 107-1669 ملغم. كغم<sup>-1</sup>، و في العراق فقد وجد ,(1980) Mohamad أن المنغنيز الكلى قد تراوح بين 309-1395 ملغم. كغم<sup>-1</sup> في ترب السهل الرسوبي وبين 495-1650 ملغم. كغم<sup>-1</sup>في ترب منطقة برزان في شمالي العراق. أن ازدياد الصعوبات التقنية وتعقيداتها وعدم قدرة الحلول البرمجية الإحصائية التقليدية على استيعابها الأمر الذي قاد الباحثين لمحاولة التغلب على هذه المشكلات والتعمق في فهم الكثير من الظواهر الطبيعية والتمكن من محاكاتها باستخدام الحاسوب. فبرز خلال القرن الماضي أسلوب استخدام الشبكات العصبية الاصطناعية في عمليات النمذجة الرياضية عبر إمكاناتها في التوصل إلى حلول ناجعة للكثير من المشكلات التي بات من الصعوبة بمكان أيجاد حل لها سابقا في مجالات العلوم الطبية والهندسية و الزراعية وغيرها بطرائق النمذجة التقليدية (Nazemi و آخرون ,2003) . تعد الشبكة العصبية الاصطناعية أداة فعالة لبناء نمذجة رياضية للعديد من المسائل التي تكون فيها العلاقات مرتبطة بمتغيرات غير معروفة ، وتقدم طريقة مناسبة لتمثيل العلاقات بين معطيات المشكلة المراد حلها على أنها تعتمد أسلوب المحاكاة في حل المشكلات بغية التوصل إلى بنية هندسية مترابطة تحقق الغرض المطلوب ، فمنذ بداية التسعينيات من القرن الماضي تم البدء بالتطبيقات العملية للشبكات العصبية الاصطناعية في مجالات التربة والموارد المائية ، إذ تم تطبيقها على نمذجة المياه الجوفية (Ray و 2000, Klindowth) و أستخدم Trajkovic وآخرون (2003) أسلوب الشبكات العصبية الاصطناعية للتنبؤ بالتبخر – نتح المرجعي حيث كانت مدخلات الشبكة عبارة عن بيانات مناخية شهرية تم الحصول عليها من منطقة نيس في جمهورية صربيا تتضمن درجات حرارة الهواء و الرطوبة النسبية و سرعة الرياح و عدد ساعات السطوع الشمسي للفترة من كانون الثاني 1977 لغاية كانون الأول 1996، وكانت مخرجات الشبكة العصبية عبارة عن بيانات شهرية محسوبة للتبخر - النتح المرجعي باستخدام معادلة بنمان، وأشار 1998), Reuter) إلى أنه يمكن تطبيق الدالة التحويلية Pedo-transfer function اعتمادا على بعض صفات التربة لتخمين صفات أخرى تتم بطريقتين الأولى إحصائية يمكن بها تخمين بعض صفات التربة ، أما الطريقة الثانية فهي ديناميكية يتم بواسطتها استخدام الصفات المخمنة للتربة في الطريقة الأولى كمدخلات في نظام محاكاة أو أنظمة محكمة ذات فائدة في أدارة التربة و الموارد المائية. تهدف الدراسة الحالية إلى محاولة تطبيق أكفأ أنموذج رياضي مبسط و سريع يعتمد على أسلوب الشبكات العصبية الاصطناعية لتخمين المنغنيز الكلى في الترب من خلال بعض صفاتها الفيزيائية والكيميائية.

### مواد البحث وطرائقه:

تضمنت الدراسة 111 نموذج تربة جمعت من بيدونات اثنان وعشرون موقعا مختارا في وسط وشمالي العراق. 44 نموذج منها تمثل بيدونات مواقع بعشيقة – (1و2) و برطلة – (3و4) والحمدانية – (5و6) وسهل كركوك – (12و2) في المنطقة الشمالية ، و 67 نموذج أخرى تمثل بيدونات مواقع الدورة – 7 والسادة – 8 و المقدادية -9 وخراب – 10 والهاشمية -11 و طبرة -12 الصقلاوية – 13 وحضرموت – 14 ودواية – 15 ونهيرات – 16 وهيت - (17 و 18) و الراشدية – (19و20) في مناطق الوسط . قدرت بعض الصفات الفيزيائية والكيميائية لترب المواقع قيد الدراسة من التسلسل 1 – 6 استنادا إلى Carter و اكتمادا على دراسات سابقة أجريت في هذه المناطق من قبل باغويطة (1983) و الجدوع (1903) الجدول (1). قدر المنغنيز الكلي في نماذج الترب كافة استنادا إلى Rlack المواقع من منخل قطر فتحاته 000 mish المواقع من منخل قطر فتحاته 000 سندل الترب كافة استنادا إلى mish 100 بأخذ غرام واحد من نموذج التربة مطحونة و ممره من منخل قطر فتحاته 000 mish 100 سندل المنفنية أمينا المنفنية والمناطق من منخل قطر فتحاته 000 سندل التربة المواقع من منخل قطر فتحاته 000 سندل المنفنية الكلي في نماذج الترب كافة استنادا المنفنية و ممره من منخل قطر فتحاته 000 سندل المنفنية المناطق من منخل قطر فتحاته 000 سندل قطر فتحاته 000 سندل المنفنية المناطق من منخل قطر فتحاته 000 سندل المنفنية المناطق من منخل قطر فتحاته 000 سندل والمناطق من قبل باغويطة (10 سندل والمناطق من منخل قطر فتحاته و 1000 سندل والمناطق من المناطق من المناطق من المناطق من قبل باغويطة (10 سندل والمناطق من منذل والمناطق من المناطق من المن

الجدول (1): بعض الخصائص الفيزيائية والكيميائية وتركيز المنغنيز الكلي لترب الدراسة.

المنغنيز الكلي	CEC	pН	EC	CaCO <sub>3</sub>	O. M	Clay	العمق	تسلسل	الموقع
ملغم. كغم <sup>-1</sup>	سنتي مول.كغم <sup>-1</sup>		dS.m <sup>-1</sup>	1-	غم. كغم		سم	العينة	والتسلسل
283.25	18.74	6.76	0.3	187	14.1	376	0-30	1	
205.50	31.23	6.86	0.4	330	10.7	452	30-60	2	<i>.</i>
275.25	37.48	7.43	0.9	350	10.4	562	60-90	3	بعشيقة
312.50	40.6	7.54	0.6	310	10.1	525	90-120	4	1
227.00	37.48	7.61	1	275	7.7	537	120-150	5	
313.75	18.74	7.43	0.8	210	16.8	350	0-30	6	
305.25	18.74	7.6	0.5	255	10.8	351	30-60	7	4
377.75	40.75	7.63	0.4	400	8.7	582	60-90	8	بعشيقة
315.25	40.6	7.63	0.5	362	9	568	90-120	9	2
435.50	38.7	7.61	0.6	365	7.4	562	120-150	10	
430.00	15.62	7.87	0.6	200	14.1	344	0-30	11	
468.75	15.62	7.88	0.4	280	12.4	349	30-60	12	
446.00	31.23	7.6	0.4	335	10.8	487	60-90	13	برطلة
453.50	40.6	7.51	0.5	275	8.1	531	90-120	14	3
438.00	37.48	7.53	0.4	250	7.4	539	120-150	15	3
453.50	12.49	7.45	0.4	205	12.8	249	0-30	16	
438.00	15.62	7.5	0.3	240	10.8	303	30-60	17	
422.25	37.48	7.53	0.4	340	9	508	60-90	18	برطلة
430.25	40.66	7.55	0.4	300	7.4	505	90-120	19	4
440.25	40.6	7.56	0.4	175	7.3	507	120-150	20	
466.75	18.74	6.85	0.5	210	13.4	372	0-30	21	
470.00	18.74	6.83	1.1	250	11.4	385	30-60	22	* ., .,
442.00	40.69	7.62	2	270	10.2	565	60-90	23	الحمدانية
458.75	40.6	7.05	1.4	235	7.3	562	90-120	24	5
466.00	43.73	7.08	1.2	190	7.1	589	120-150	25	
485.75	21.86	6.97	0.3	280	14.1	384	0-30	26	
474.50	40.7	7.03	0.5	300	13.4	568	30-60	27	الحمدانية
460.75	40.6	7.15	0.3	330	9.7	565	60-90	28	
448.25	40.5	7.12	0.4	305	9	565	90-120	29	6
450.50	43.71	7.21	0.3	295	8.4	590	120-150	30	
202.71	15,8	7.7	0.94	221	10.4	155	0-30	31	
199.48	15.6	7.4	1.25	247	6.1	145	30-60	32	الدورة
191.83	10.2	7.4	0.53	178	6.5	75	60-90	33	
183.16	14.6	7.75	1.48	179	1.4	165	90-120	34	7
178.91	9.4	7.65	1,15	188	5.4	85	120-150	35	
152.77	18.2	7.2	34.1	154	1	427	0-30	36	
158.32	19.6	7.2	8.81	272	7.7	427	30-60	37	السادة
165.82	22.8	7.3	5.27	236	5.8	540	60-90	38	8
175.43	18.8	7.4	5.85	217	4.7	407	90-120	39	O
183.97	22.2	7.15	5.62	249	4.9	509	120-150	40	
197.60	24.8	7.2	149.52	133	18.9	406	0-30	41	
198.05	25.2	7.4	13.05	369	9.3	395	30-60	42	المقدادية
198.53	29.2	7.4	15.34	254	5.9	596	60-90	43	9
199.09	32.6	7.5	42.8	194	5.4	705	90-120	44	•
199.70	29	7.4	11.14	258	4.9	546	120-150	45	

تتمة الجدول (1)

Г			· ·	<del>-                                    </del>	1	1	1	1	
المنغنيز الكلي	CEC	nII	EC	CaCO <sub>3</sub>	O. M	Clay	العمق	تسلسل	الموقع
ملغم. كغم <sup>-1</sup>	سنتي مول.كغم-1	pН	dS.m <sup>-1</sup>	1	غم. كغم		سم	العينة	والتسلسل
211.22	34.8	7.3	113.6	167	9.68	555	0-30	46	
210.72	28.2	7.8	47.8	210	1.74	606	30-60	47	
209.96	29	7.5	19.9	219	4.32	759	60-90	48	خراب
189.27	32	7.5	35.7	243	2.04	769	90-120	49	10
183.27	33	7.2	16.24	266	2.25	788	120-150	50	
179.45	25.4	8	65.83	182	8	356	0-30	51	
184.39	23	8	13.89	203	11.2	305	30-60	52	* * *, *,
188.29	26.8	7.8	8.98	199	5.63	478	60-90	53	الهاشمية
190.24	16.6	8	4.83	160	1.04	151	90-120	54	11
194.40	30.2	7.8	5.28	199	3.28	488	120-150	55	
141.30	25.2	7.8	10.81	203	10.1	284	0-30	56	
157.30	34	7.7	6.81	199	8.01	517	30-60	57	طيرة
172.34	31.2	7.5	6.01	204	8.34	456	60-90	58	12
188.34	33.4	7.4	7.3	206	8.34	519	90-120	59	12
209.14	30	7.4	7.18	202	7.64	396	120-150	60	
177.68	22	7.2	177.3	157	14.8	297	0-30	61	
177.72	27.6	7.2	58.5	353	8.95	641	30-60	62	
177.77	20.8	7.2	44.7	245	7.27	651	60-90	63	الصقلاوية
177.84	21.6	7.2	16.35	226	6.63	469	90-120	64	13
177.92	19.2	7.4	18.57	236	6.1	398	120-150	65	
202.35	33.4	8	1.05	334	15	574	0-30	66	
196.46	33	7.7	1.05	330	14.4	506	30-60	67	حضرموت
190.86	30	7.5	0.99	300	4.32	367	60-90	68	14
185.16	33.1	7.8	0.86	331	0.35	464	90-120	69	14
179.27	31.1	7.5	2.62	311	3.82	435	120-150	70	
156.06	21.6	7.8	139.4	162	2.24	249	0-30	71	
157.98	23	7.8	35.81	234	2.34	320	30-60	72	
160.08	16.4	7.7	14.91	233	2.22	137	60-90	73	الدواية
161.66	30	7.5	13.41	214	2	554	90-120	74	15
164.28	29	7.5	9.13	221	10	585	120-150	75	
155.84	22.4	7.9	5.9	301	6.7	451	0-30	76	
152.21	23.4	7.8	24.4	282	7.5	464	30-70	77	نهيرات
149.90	22.2	7.6	13.3	320	7.5	530	70-110	78	16
147.92	20	7.7	14.5	322	13.4	540	110-150	79	10
530.00	23.2	7.6	1.3	163	12.7	250	0-30	80	
510.30	21.8	7.7	1.2	170	11	250	30-70	81	هيت
466.30	18.4	7.9	0.8	170	9.7	280	70-110	82	17
461.80	19.7	7.9	0.83	175	7.68	270	110-150	83	17
486.90	24.5	7.7	1.3	220	1.74	330	0-30	84	
480.30	20.8	7.6	0.87	240	4.32	340	30-70	85	هيت
480.10	16.2	7.8	0.93	213	2.04	320	70-110	86	18
474.30	18.3	7.8	1.25	278	2.25	320	110-150	87	10
721.30	23.7	7.8	1.3	167	7.5	300	0-30	88	
686.10	24.7	7.9	0.88	210	8.3	320	30-60	89	
641.80	20.5	8.2	0.81	219	6.7	350	60-90	90	الراشدية
678.70	23.1	8.2	0.75	243	5	300	90-120	91	19
669.20	18	8.3	0.56	266	5	250	120-150	92	
557.20	10	5.5	0.50	200		250	120 130	<i>, , </i> <u> </u>	

(	1	الجدول (	تتمة
---	---	----------	------

المنغنيز الكلى	CEC		EC	CaCO <sub>3</sub>	O. M	Clay	العمق	تسلسل	الموقع
ملغم. كغم <sup>-1</sup>	سنتي مول.كغم-1	pН	dS.m <sup>-1</sup>	غم. كغم <sup>-1</sup>			سم	العينة	والتسلسل
641.20	28.4	8	0.96	182	15	310	0-30	93	
620.80	26.5	8	0.96	203	10	360	30-60	94	I . 21 ti
559.40	23.8	8.2	0.6	199	13.5	300	60-90	95	الراشدية
617.90	21. 9	8.2	0.97	160	8.3	230	90-120	96	20
579.40	24.1	8.2	0.9	199	6.7	230	120-150	97	
639.40	23.3	7.6	1.06	203	21	290	0-30	98	
560.20	28.2	7. 6	1.27	199	13.5	400	30-60	99	
492.70	29.3	7. 5	1.96	204	8.3	400	60-90	100	سهل
448.10	23.8	7. 5	1.98	206	8	290	90-120	101	كركوك
435.70	22.5	7.6	2.1	202	5	250	120-150	102	21
465.20	21.1	7.6	1.95	157	5	240	150-175	103	21
417.20	22. 8	7.9	2.15	353	3.5	250	175-200	104	
611.30	23.1	7.8	1	245	21.5	330	0-30	105	
536.20	26.9	7.9	0.97	226	36.5	410	30-60	106	
548.90	31.2	7.6	0.9	236	16	500	60-90	107	سهل
514.10	29.4	7.8	1.15	334	8.5	430	90-120	108	كركوك
465.50	27.9	7.8	1.06	330	7.5	400	120-150	109	22
511.80	26.2	7.8	0.66	300	6.7	370	150-175	110	44
512.10	28.1	7.8	0.8	331	5	420	175-200	111	

هضمت العينة بإضافة 10 مل حامض البيروكلوريك 4M HClO على سخان لحين خروج أبخرة كثيفة وأصبح لون التربة أبيضا شاحبا. وبعد ترك معلقات الترب لتبرد ، أضيف إليها 15 مل ماء مقطر لا أيوني، ثم ترشيحها باستخدام ورق ترشيح مغسول لثلاث مرات بحامض الهيدروكلوريك 6.5M HCl. وأخيرا تم قياس تركيز المنغنيز الكلى في المستخلص النهائي لنماذج لترب باستخدام جهاز الامتصاص الذري Atomic absorption. تم اعتبار قيم تراكيز المنغنيز الكلي المقدرة هذه هدفا رئيسيا للشبكة العصبية الاصطناعية المقترحة واعتبار قيم صفات التربة (التوصيل الكهربائي Electrical conductivity و المادة العضوية Organic matter والسعة التبادلية الكاتيونية CEC ومحتوى الطين Clay وكربونات الكالسيوم CaCO<sub>3</sub> والدالة الحامضية pH) كمدخلات للشبكة العصبية. تم تتفيذ أنموذج الشبكة العصبية باستخدام (NN-tool box) كإحدى أدوات الحزمة البرمجية MATLAB لسرعتها العالية في التنفيذ ومعالجة بيانات الدراسة فضلا عن تضمنها عدة دوال تفعيليه مع تطبيقاتها ، كما أنها تسمح بالتعامل مع المصفوفات بسرعة وسهولة، وبما يتصل بالمشكلة وصياغتها تم تطبيق أنموذج الشبكة العصبية باستخدام أسلوب خوارزمية التدريب للانتشار العكسى لحساب الخطأ الناتج من الفرق بين قيم المخرجات الفعلية للشبكة العصبية و بين قيم الهدف التي تمثل القيم الحقيقية للمنغنيز الكلي والمقدرة وفقا لما سبق. تم تحديد بناء الشبكة العصبية المستخدمة بطبقة واحدة من المدخلات و المتكونة من ستة عصبونات بعدد المتغيرات المؤثرة على قيم المنغنيز الكلي في التربة وتتضمن صفات التربة أعلاه في حين اقتصرت طبقة المخرجات على طبقة واحدة بعصبون منفرد يمثل قيم المنغنيز الكلي للترب. أما الطبقة الخفية للشبكة العصبية المقترحة فقد كان فيها عدد العصبونات بعدد قيم المتغيرات المدخلة ، كما تم تحديد دوال التفعيل في كل طبقة و كانت دالة التفعيل للطبقة الخفية نوع Tan-sigmoid transfer function و لطبقة المخرجات نوع Linear transfer function. ينقسم عمل الوحدة العصبية الاصطناعية إلى مرحلتين ، ففي المرحلة الأولى يتم معالجة المدخلات بضرب كل مدخل مفرد بوزن معين (IW) ثم يتم جمع المدخلات الموزونة و يضاف إليها عامل انحياز (b) لضمان الحصول على قيمة موجبة للمرحلة الأولى الذي يعجل في الاقتراب من الحل المنشود (McClendon و McClendon و 1996, Hoogenboom ويعبر عنها بالمعادلة الآتية:

وتتولى المرحلة الثانية معالجة مخرجات المرحلة السابقة وهي دوال رياضية تدعى دوال التفعيل Activation function وفق المدى المحدد لكل نوع منها لينتج عنها مخرجات يعبر عنها بالمعادلة الآتية :

Output = F(Net) = a ........... (2) وهناك عدد من دوال التفعيل ذات الوظائف المختلفة وكل منها تصلح لنوع معين من التطبيقات اعتمادا على المدى المحدد لها وفيما يأتى بعض الدوال المستخدمة في البحث :

1- دالة سيجمويد لظل الزاوية Tan-sigmoid transfer function وهي مشابهة لدالة سيجمويد اللوغاريتمية ولها ذات المزايا من حيث الانسيابية إلا أن قيم المخرجات تكون بمدى يتراوح بين (1 و 1-) (Demuth و 2002, Beale) و معادلتها هي :

$$F(Net) = \frac{2}{1 - e^{(-Net)}} - 1$$
 .....(1)

2- الدالة الخطية Linear transfer function و فيها قيم المخرجات أقل أو أكبر من (صفر) لذا تسمى دالة التصفير الثنائي, (1989) Wasserman) ومعادلتها هي:

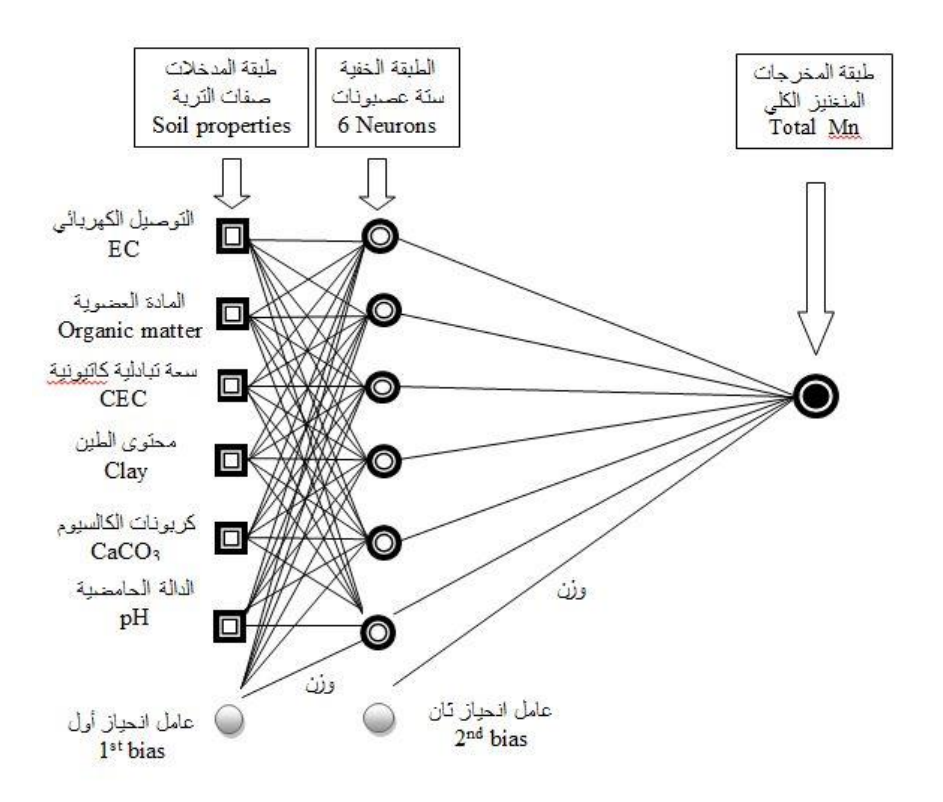
$$F(x) = x \quad for \, all \, x \qquad \dots \qquad (2)$$

## النتائج والمناقشة:

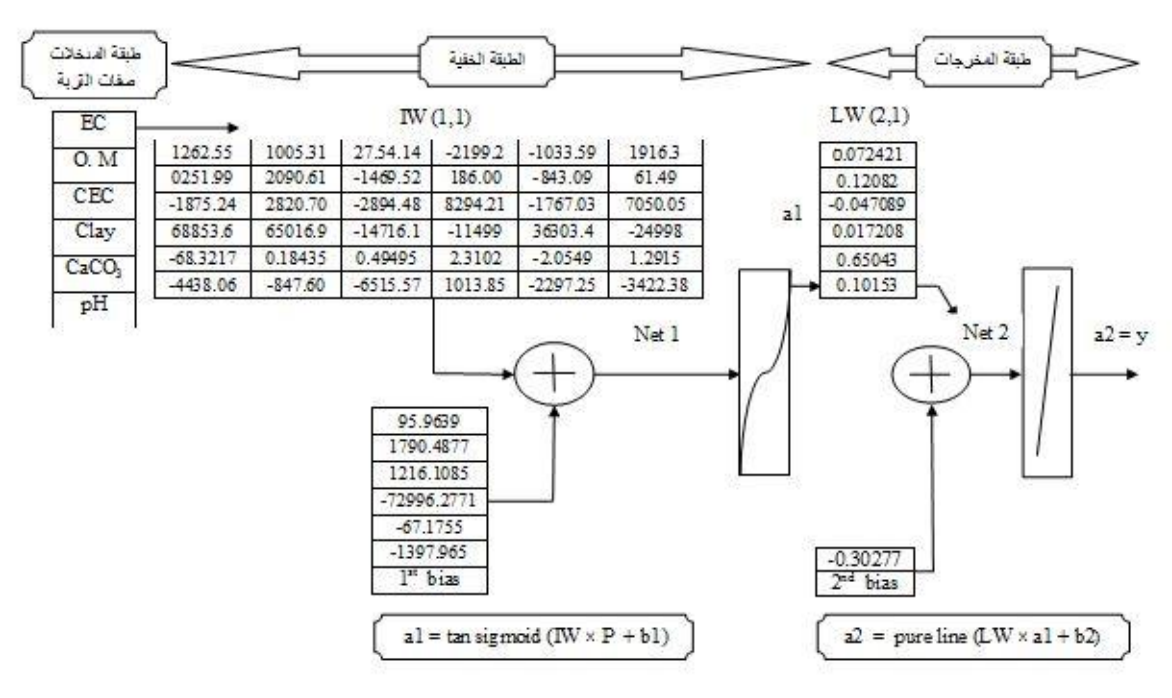
تم في هذه الدراسة تطبيق أنموذج الشبكة العصبية الاصطناعية لتخمين المنغنيز الكلي في الترب قيد الدراسة باستخدام أسلوب خوارزمية التعليم للانتشار العكسى للخطأ Back error networks propagation . وقد تم تدريبها على سلسلة من المدخلات التي يرافقها مخرجات مرتبطة بها بأشراف Super learning algorithms وهي من أكثر الطرائق شيوعا في تدريب الشبكات العصبية الاصطناعية Jain) و 2003, Sing) إذ تعمل هذه الخوارزمية على حساب الخطأ الناتج من الفرق بين قيم المخرجات الفعلية للشبكة العصبية الاصطناعية Output وبين القيم المأمولة أي الهدف Target و التي تمثل القيم الحقيقية للمنغنيز الكلي والمقدرة بطريقة الاستخلاص في حامض البيروكلوريك استنادا إلى Black), Black) إذ أن الفرق بين قيم المخرجات و قيم الهدف يمثل أشارة الخطأ ومن ثم تعمل على انتشار القيم الناتجة عن هذا الخطأ في جميع روابط الشبكة من أجل تحديث قيم الأوزان أبتداءا من طبقة المخرجات باتجاه طبقة المدخلات. في حين تتم أعادة تغذية الشبكة به لغرض تعديل أوزان الشبكة والحصول على أقل قيمة ممكنة لجذر متوسط مربع الخطأ (RMSE) وأقل قيمة لمتوسط النسبة المئوية للخطأ المطلق (MAPE). أن أشارة الخطأ الحاصلة يتم تعديلها بعد كل دورة تدريب Epoch إلى أن تصل قيمة الخطأ أو عدد محاولات التدريب إلى القيمة المحددة مسبقا من قبل المدرب وعندئذ يتوقف التدريب حسب شرط أنموذج الشبكة. والشكل (1) يمثل بناء و تركيب الشبكة العصبية الاصطناعية المستخدمة وهي من شبكات الانتشار العكسي للخطأ المتضمنة طبقة واحدة للمدخلات هي صفات التربة (التوصيل الكهربائي EC والمادة العضوية. O.M و السعة التبادلية الكاتيونية CEC ومحتوى الطين Clay و كربونات الكالسيوم CaCO<sub>3</sub> والدالة الحامضية pH في 111 عمود تمثل عدد نماذج الترب قيد الدراسة التي جمعت من 22 موقعا في مناطق وسط وشمالي العراق الجدول (1) وقد تم إدخال هذه البيانات على شكل مصفوفة تتكون من ستة صفوف واقتصرت طبقة المخرجات على طبقة واحدة بعصبون منفرد تمثل قيمة المنغنيز الكلي وفي 111 عمود أيضا، كل عمود يشير إلى قيمة المنغنيز الكلي لكل نموذج تربة لمواقع الدراسة. أما الطبقة الخفية للشبكة كان فيها ستة عصبونات وهي بعدد قيم المتغيرات المدخلة.. ويشير الشكل (2) إلى نوعية الدوال التفعيلية المستخدمة في كل طبقة حيث كانت دالة التفعيل في الطبقة الخفية نوع Tan-sigmoid transfer function وبستة عصبونات أيضا مساويا لعدد المتغيرات في طبقة المدخلات.

أما دالة التفعيل المستخدمة لطبقة المخرجات فكانت نوع Linear transfer function، ويشير الشكل (2) أيضا إلى الأوزان التي تم المصول عليها IW و LW. في الطبقة الخفية وطبقة المخرجات على التوالي والتعرف على أكفأ نموذج رياضي تم استخدام خوارزميات تحريب مختلفة من ناحية بناءها الرياضي والمتغيرات الواجب تعريفها قبل البدء بالتدريب هي Gradient descent back propagation (SCG), Gradient descent with momentum weight and bias (GD), Scaled conjugate gradient back propagation (SCG), Gradient descent with momentum weight and bias function (GDM), Levenberg marquardt back propagation (LM) ومواءمة كل خوارزمية بناءا على سرعة وصولها إلى الهدف بأقل خطأ قياسي(Std error) و أقل قيمة لجذر متوسط مربع الخطأ (MAPE) وأعلى معامل ارتباط (r) لدورات تدريب ثابتة العدد Epochs وكان اختيار خوارزمية التدريب (Tan-sigmoid transfer function) وأعلى معامل وبالتالي هذا الاختيار الأمثل للخوارزمية الخفية مع أتباعها بدالة التفعيل نوع Linear transfer function في طبقة المخرجات كانت هي الأفضل وبالتالي هذا الاختيار الأمثل للخوارزمية للخطأ المطلق (RMSE) و ووال التقعيل آنفة الذكر أعطى أقل قيمة لجذر متوسط مربع الخطأ (RMSE=50.31) و أقل متوسط للنسبة المئوية للخطأ المطلق ووال التقعيل آنفة الذكر أعطى أقل قيمة لجذر متوسط مربع الخطأ (RMSE=50.31) وأقل متوسط للنسبة المئوية للخطأ المطلق

(MAPE=8.6%) وأقل قيمة للخطأ القياسي (Std error=53.33) و أعلى معامل ارتباط (r=0.92) بعد أتمام 100 دورة تدريب التعرف على كفاءة أداء الشبكة العصبية بعد أتمام عملية تدريبها.



الشكل (1): أنموذج الشبكة العصبية الاصطناعية لتخمين المنغنيز الكلى في التربة.



الشكل ( 2 ) : انموذج الشبكة العصبية الاصطناعية الت تم بناؤها ونوعية الدوال التفعيلية

والجدول (2) يوضح بيانات أعداد وقيم المنغنيز الكلي الحقيقي و المنغنيز الكلي المخمن باستخدام تحليل الانحدار الخطي المتدرج و الشبكات العصبية باستخدام حزمة برمجيات MATLAB و الموزعة عشوائيا على مجاميع التدريب والتحقق و الاختبار كما يأتى:

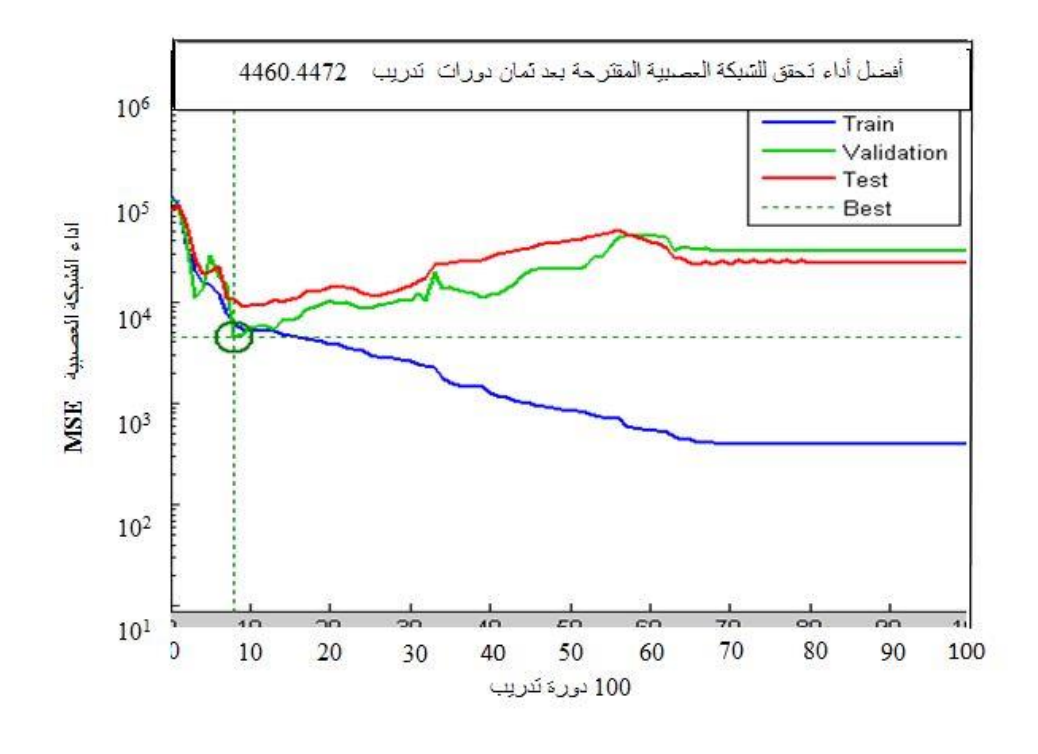
1- مجموعة التدريب Training group للشبكة العصبية الاصطناعية المقترحة و قد اشتملت على 29 نموذج المنطقة الشمالية و 48 نموذج المناطق وسط العراق أي بمجموع 77 نموذج على شكل مصفوفة من ستة صفوف تمثل (أعداد المتغيرات) و 77 عمودا (أعداد النماذج) واعتبرت هذه المصفوفة بيانات المدخلات input الشبكة العصبية. أما فيما يخص بيانات المخرجات that و 00 مرحلة النماذج) واعتبرت هذه المجموعة ثلاث مراحل هي مرحلة التغذية الأمامية ومرحلة الحساب للخطأ و أيضا. يتضمن تدريب الشبكة العصبية في هذه المجموعة ثلاث مراحل هي مرحلة التغذية الأمامية ومرحلة التساب للخطأ و مرحلة الانتشار العكسي ومرحلة الثالثة تشمل تحديث الأوزان وعوامل الأنحيازات ، ثم يعاد التدريب على مجموعة التدريب مئات المرات لحين الحصول إلى أقل قيمة لجذر متوسط مربع الخطأ (MAPE) و أقل قيمة لمتوسط النسبة المئوية للخطأ المطلق (MAPE) أو التوصل إلى أقل قيمة لجذر متوسط مربع مصفوفة الهدف، و تتضح كفاءة الشبكة العصبية مجموعة التدريب مئات المرات لحين الحصول إلى أقل قيمة لجذر متوسط مربع الخطأ (RMSE) وأقل قيمة لمتوسط النسبة المئوية للخطأ المطلق (MAPE) أو التوصل إلى نتائج مقاربة للقيم الموجودة في مصفوفة الهدف، و تتضح كفاءة الشبكة العصبية في مقدار نسبة الانجاز إذ وصل أفضل أداء لها عند الدورة الثامنة هو مصفوفة الهدف، و تتضح كفاءة الشبكة العصبية في مقدار نسبة الانجاز إذ وصل أفضل أداء لها عند الدورة الثامنة هو مصفوفة الهدف، و تتضح كفاءة التدريب للشبكة العصبية لتحقيق الهدف في دورات تدريب قليلة الشكل (3).

الجدول (2): قيم المنغنيز الكلي الحقيقي و المخمن باستخدام تحليل الانحدار الخطي المتدرج و الشبكات العصبية الاصطناعية.

مخمن) باستخدام	منغنيز كلي (ال				متخدام	مخمن) باس	منغنيز كلي (الد			
الشبكات العصبية	تحليل الانحدار	منغنيز كلي (الحقيقي)	ت	الموقع		الشبة العص	تحليل الانحدار	منغنيز كلي (الحقيقي)	ij	الموقع
	ملغم. كغم <sup>-1</sup>						ملغم. كغم <sup>-1</sup>			
159.414 *	419.657	141.30	56		457.3	341**	347.918	283.25	1	
149.931 *	451.093	157.30	57		643.2	26***	290.771	205.50	2	
198.813***	361.988	172.34	58	طبرة	329.	510 *	340.991	275.25	3	بعشيقة
157.915 *	289.260	188.34	59	12	430.	669 *	409.722	312.50	4	1
224.356 *	332.623	209.14	60		299.1	07***	383.296	227.00	5	
173.406 *	-2.348	177.68	61		338.5	552**	438.511	313.75	6	
218.263 *	55.535	177.72	62	7 512	357.	535 *	354.878	305.25	7	_
179.572***	109.629	177.77	63	صقلاوية	390.	346 *	326.610	377.75	8	بعشيقة
170.985 *	251.472	177.84	64	13	395.	211 *	358.174	315.25	9	2
171.136 *	256.025	177.92	65		357.	731 *	323.002	435.50	10	
195.626 *	426.696	202.35	66		430.	181 *	436.264	430.00	11	
288.671 *	343.093	196.46	67		364.	084 *	363.479	468.75	12	
210.039 *	349.593	190.86	68	حضرموت	399.	419 *	351.379	446.00	13	برطلة
159.386 *	344.069	185.16	69	14	461.2	273**	404.056	453.50	14	3
116.194***	311.312	179.27	70		323.	168 *	388.932	438.00	15	
173.431 *	208.522	156.06	71		477.5	570**	383.132	453.50	16	
204.664 *	389.744	157.98	72		425.	716 *	347.450	438.00	17	
128.798 *	318.304	160.08	73	الدواية	400.	199 *	358.740	422.25	18	برطلة
159.803 *	235.569	161.66	74	15	419.	728 *	392.216	430.25	19	4
156.406 *	260.369	164.28	75		469.9	986**	472.795	440.25	20	
157.205***	230.307	155.84	76		461.3	342**	333.879	466.75	21	
168.430 *	193.893	152.21	77	نهيرات	468.5	58***	276.498	470.00	22	الا ـ . دان ت
155.731 *	149.120	149.90	78	16	376.	607 *	429.715	442.00	23	الحمدانية -
173.120 *	128.117	147.92	79		499.6	40***	362.517	458.75	24	5

576.676 *	468.105	530.00	80			482.746 *	408.055	466.00	25		
519.248***	424.104	510.30	81	هيت	4	487.279 *	327.990	485.75	26		
363.276 *	415.225	466.30	82	17	4	443.713 *	392.143	474.50	27		
440.172 *	429.513	461.80	83		4	435.428 *	341.082	460.75	28	الحمدانية	
535.176 *	461.699	486.90	84		4	77.748***	345.309	448.25	29	6	
419.003**	405.062	480.30	85	هيت	4	473.810 *	369.448	450.50	30	U	
477.379 *	275.577	480.10	86	18	2	207.246 *	421.368	202.71	31		
375.331 *	315.615	474.30	87		2	215.628 *	324.110	199.48	32		
587.062 *	418.258	721.30	88		1	75.905***	358.226	191.83	33	الدورة	
659.669 *	444.764	686.10	89	5 . 51 11	2	259.801 *	333.311	183.16	34	7	
641.124**	411.694	641.80	90	الراشدية	2	47.789***	353.010	178.91	35		
705.541*	429.557	678.70	91	19		175.470 *	157.809	152.77	36		
658.583***	407.493	669.20	92			175.470 *	229.918	158.32	37	ar. 1 - 11	
571.660**	576.469	641.20	93		1	74.201**	237.020	165.82	38	السادة	
604.928***	467.570	620.80	94	ti		186.010 *	257.436	175.43	39	8	
587.563 *	529.168	559.40	95	الراشدية	1	74.646**	207.351	183.97	40		
652.938 *	470.362	617.90	96	20		173.478 *	169.673	197.60	41		
564.744 *	453.129	579.40	97		1	92.531**	246.490	198.05	42		
624.037**	571.656	639.40	98			163.202 *	242.051	198.53	43	المقدادية	
542.764***	476.465	560.20	99			176.146 *	211.692	199.09	44	9	
463.085 *	383.028	492.70	100	سهل	1	36.088***	251.575	199.70	45		
455.564**	347.494	448.10	101		1	75.041**	191.537	211.22	46		
455.023 *	320.244	435.70	102	21 كركوك		176.668 *	252.866	210.72	47		
406.999 *	392.745	465.20	103		2	209.869 *	201.950	209.96	48	خراب	
504.643 *	415.532	417.20	104		1	77.816**	150.505	189.27	49	10	
611.380**	592.201	611.30	105			193.518 *	169.811	183.27	50		
540.581 *	775.341	536.20	106			174.713 *	323.373	179.45	51		
575.192 *	499.700	548.90	107	سهل		169.965 *	334.996	184.39	52	n	
487.409 *	423.257	514.10	108	كركوك	1	67.286***	333.457	188.29	53	الهاشمية	
511.572 *	392.611	465.50	109	22	2	220.633 *	389.479	190.24	54	11	
567.530 *	426.574	511.80	110	22	2	209.337 *	339.170	194.40	55		
482.341 *	411.376	512.10	111								

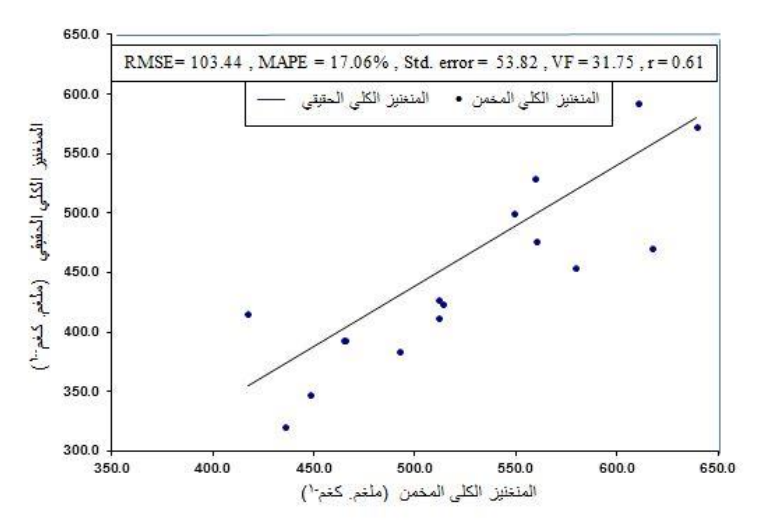
\* مجموعة التدريب 77 نموذج ، \*\* مجموعة التحقق 17 نموذج ، \*\*\* مجموعة ألاختبار 17 نموذج .



الشكل (3): تدريب الشبكة العصبية الاصطناعية المقترحة باستخدام خوارزمية (Levenberg marquardt (LM)

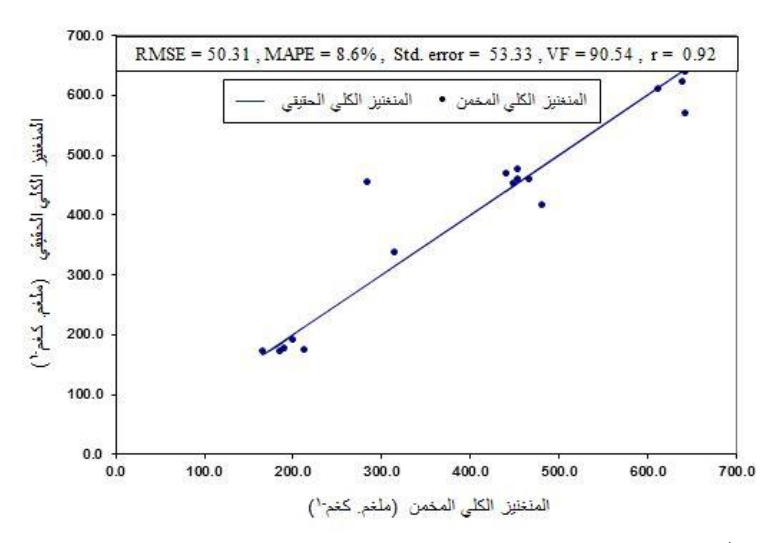
2- مجموعة التحقق Validation group لاختبار تدريب الشبكة العصبية المقترحة والتي اشتملت على 17 نموذج تربة (أعداد النماذج) منها 9 نماذج للمنطقة الشمالية و 8نماذج للمنطقة الوسطى على شكل مصفوفة ستة صفوف (أعداد المتغيرات) علما أن هذه المجموعة التي تم استخدامها لتحقيق أفضل أداء للشبكة العصبية لم تكن داخلة ضمن مجموعة التدريب.

3- مجموعة الاختبار Test group فقد كانت مرحلة واحدة فقط هي مرحلة الانتشار الأمامي و تضمنت 17 نموذج تربة منها 6 نماذج للمنطقة الشمالية و 11 نموذج للمنطقة الوسطى تم استخدامها لغرض التأكد من التوافق الأدنى لمجموعتى التدريب والتحقق. أن أجراء عمليتي التحقق والاختبار هي لغرض منع حدوث مبالغة في التدريب للشبكة المقترحة لغرض منع حدوث مبالغة في التدريب للشبكة المقترحة بغية الوصول إلى الأوزان التي تربط مدخلات الشبكة بمخرجاتها بأمثل توافق ، حيث تكون مجموعة التحقق مرشدة للشبكة خلال مرحلة التدريب، وعند زيادة جذر متوسط مربع الخطأ (RMSE) ومتوسط النسبة المئوية للخطأ المطلق (MAPE) لأداء مجموعة التحقق ولعدد من الدورات التكرارية يتم عند تلك النقطة توقف التدريب حيث أن تقليل الخطأ لمجموعة التحقق يتزامن مع مجموعة التدريب منذ البداية وبعد مرور مدة من الوقت يبدأ الخطأ بالازدياد لمجموعة التحقق مما يؤدي إلى المبالغة في التدريب وبالتالي توقف التدريب. عند هذه النقطة يحدث توافق أدائي أمثل للشبكة العصبية يتم فيها استرجاع ترابطات الأوزان و عوامل الأنحيازات (1998, Hristev). تم أجراء تحليل الانحدار لإيجاد التوافق الخطى بين مخرجات الشبكة المقترحة وبيانات المغنيز الكلى الحقيقية لمجموعة نماذج التحقق غير الداخلة ضمن مجموعة التدريب وعند استخدام تحليل الانحدار الخطى المتدرج Stepwise multiple linear regression لدراسة تأثير صفات التربة في قيم المنغنيز الكلى المخمن لنماذج ترب الدراسة وقد وجد أن جذر متوسط مربع الخطأ (RMSE=103.44) ومتوسط النسبة المئوية للخطأ المطلق (MAPE=17.06%) و الخطأ القياسي (Std.error=53.82) وعامل التحقق (VF=31.75) و علاقة الارتباط (r=0.61) بين القيم الحقيقية و المخمنة للمنغنيز الكلي الشكل (4) ، بينما كانت قيم جذر متوسط مربع الخطأ (RMSE=50.3) و متوسط النسبة المئوية للخطأ المطلق (MAPE=8.6%) وقيمة الخطأ القياسي (Std.error=53.3) وعامل التحقق (VF=90.5) و علاقة الارتباط (r=0.92) باستخدام أنموذج الشبكة العصبية الشكل (5). وتبين من مخرجات الشبكة العصبية المقترحة باستخدام حزمة برمجيات MATLAB الشكل (6)أن علاقة الارتباط لكل من مجموعة التدريب والتحقق و الاختبار و تحليل البيانات الكلية وصلت (r=0.88) و (r=0.92) و (r=0.88) على التوالي إذ يتضح مدى كفاءة أنموذج الشبكة للعصبية الاصطناعية في تخمين المنغنيز الكلي اعتمادا على صفات التربة وهي (التوصيل الكهربائي والمادة العضوية والسعة التبادلية الكاتيونية ومحتوى الطين وكربونات الكالسيوم والدالة الحامضية) مقارنة بتحليل الانحدار الذي ورد في الشكل (4) .

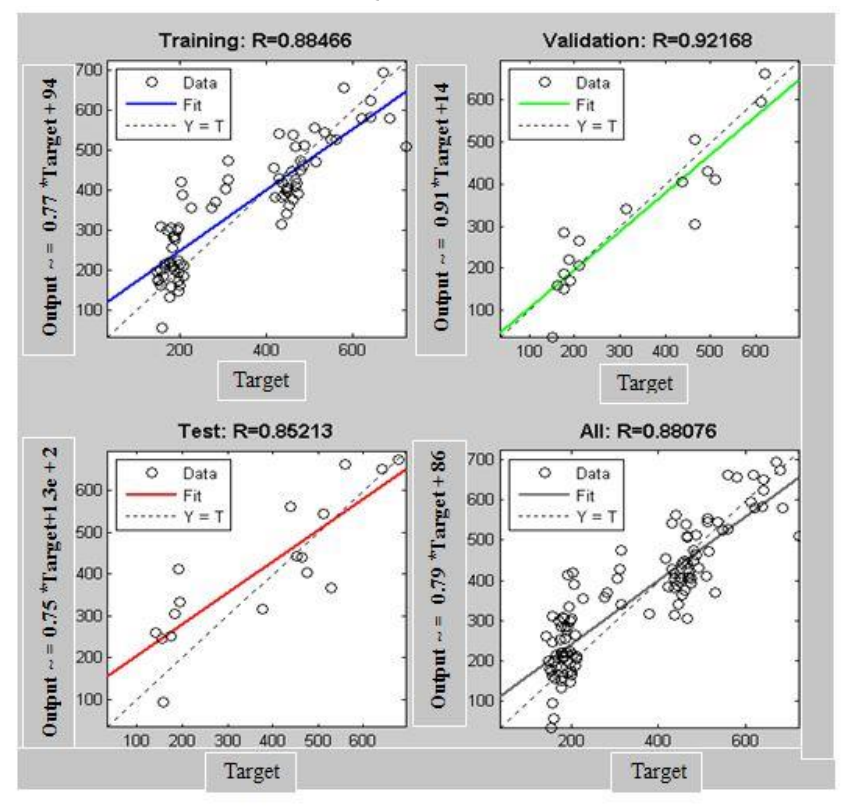


الشكل (4): احتمالية توزيع المنغنيز الكلي (المخمن) حول خط انحدار المنغنيز الكلي (الحقيقي) باستخدام معادلة Stepwise multiple linear regression الانحدار الخطي المتدرج

كما يلاحظ مدى الموائمة العالية بين القيم الحقيقية و المخمنة للمنغنيز الكلي للترب باستخدام الشبكة العصبية المقترحة وخصوصا في مجموعة التحقق أذ كان مقدار التشتت قليلا جدا بين القيم الحقيقية والمخمنة للمنغنيز الكلي اعتمادا على الصفات أعلاه. نستتج من الدراسة الحالية أن شبكة الانتشار العكسي للخطأ Back error networks propagation كأنموذج للشبكة العصبية الاصطناعية المقترحة كانت هي الأكفأ و الأسهل في تخمين المنغنيز الكلي في ترب الدراسة .



الشكل (5): احتمالية توزيع المنغنيز الكلي (المخمن) حول خط انحدار المنغنيز الكلي (الحقيقي) باستخدام أنموذج الشبكات العصبية الاصطناعية ذات 100 دورة تدريب مع مدخلات التحقق و معايير كفاءة الأنموذج.



الشكل (6): تحليل الانحدار الخطى المندرج Stepwise multiple linear regression لمخرجات الشبكة العصبية الاصطناعية

#### المصادر:

- باغويطة ، حسين عوض عبد الله (1983). توزيع بعض العناصر النادرة في بعض الترب الرسوبية في العراق. رسالة ماجستير، كلية الزراعة ، جامعة بغداد.
- الجدوع ، عبد الكريم حمود (1990). حالة الزنك ، النحاس ، المنغنيز و الحديد في بعض الترب العراقية ومفصولاتها. أطروحة دكتوراه، كلية الزراعة ، جامعة بغداد.
- Abd-Elrazek, M.; M. F. Choneim; G. S. El-Gharably and K. Abd-Ellah (1984). Micronutrient status in soils of upper Egypt. 4. Manganese. Journal of Agricultural Sciences Ass. Uni. Vol. 15 (3).
- Ahnert, A. and C. Borowiski (2000). Environmental risk assessment of anthropogenic activity in the deep sea. Journal of Aquatic Ecosystem Stress and Recovery 7 (4): 299 315.
- Aubert, H, and M. Pinta (1977). Trace elements in soils. Elsevier So. Pub. Co. Amsterdam.
- Black, C. A. (1965). Methods of Soil Analysis. Part II Agronomy American Society. Inc. Pub. Madison, Wisconsin. USA.
- Carter, M. R. and E. G. Gregorich (2008). Soil Sampling and Methods of Analysis 2nd edition. Canadian Society of Soil Science. Canada.
- Demuth, H. and M. Beal (2002). Neural Network Tool Box for Use with Matlab. The Math work Inc., MA. USA.
- Hristev, R. M. (1998). The Artificial Neural Networks Book. Published by Niranjan Desai B. Tech-Computer Science. Amity University, DUBAI.
- Jain, S. K. and V. P. Sing (2003). Application of Artificial Neural Networks to Water Resources. Water and Environmental International Conference from 15 18 December Bhopal. M. P., India.
- Joshi, D. C.; R. P. Dhir and B. S. Gupta (1981) .Forms of iron and manganese in some soils of arid regions of Rajasthan, Indian Society of Soil Sciences. 29 (4): 462 468.
- Levinson, A. A. (1980). Introduction to Exploration Geochemistry, 2nd edition, Wilmette, Illinois, USA. 924 p.
- McClendon,, R. W. and I. S. Hoogenboom (1996). Optimal Control and Neural Network Applied to PEANUT Irrigation Management. Transactions of the ASAE, vol. 39(1): 275 279.
- Mohamad, I. J. (1988). Chemical behavior of zinc, copper and other selected nutrient elements in some Iraqi arid soils .Ph.D thesis. State Univ. of Chant, Belgium.
- Nazemi, A.; H. Poorkhadem; R. Mohammed; T. Akbarzade and S. M. Husseini (2003). Evolutionary Neural Network Modeling for Describing Rainfall Runoff Process. Hydrology Days 224 235.
- Rai C. and K. K. Klindworth (2000). Neural Networks for Agricultural Vulnerability Assessment of Rural private Wells. Journal of Geo-technical and Geo-environmental Engineering. vol. 128 (9): 785 793.
- Reuter, D. J. (1998). Developing indicator for monitoring catchment Health the challenges. Australian journal Experimental Agriculture. 38: 637 648.
- Trajkovic, S.; B. Todorvic and M. Stankovic (2003). Forecasting of Reference Evapo-transpiration by Artificial Neural Networks. Journal of Irrigation & Drainage Engineering, ASCE, vol. 129(6) 454 457.
- Wasserman, . D. (1989). Neural Computing Theory and Practice.. Anderson, J. A. and Rosenfeld E. Neuro Computing, MT Press. Van. Nostrand Reinhold: New York. USA.